

УДК 539.374

**О ВАРИАЦИОННОМ ПРИНЦИПЕ ОПИСАНИЯ
ПРЕДЕЛЬНЫХ ПРОЦЕССОВ СЛОЖНОГО НАГРУЖЕНИЯ**

ЗАВОЙЧИНСКИЙ Б. И.

Вариационный подход при описании предельных процессов нагружения [1, 2] реализует идею о функциональной взаимосвязи между тензорами повреждений и напряжений [3], открывая новые возможности для построения критерии прочности при переменном нагружении. Предсказания предлагаемой теории удовлетворительно согласуются с экспериментальными данными по циклической прочности пластичных и хрупких материалов при двухчастотном и программном одноосных нагружениях [1, 4]¹, а также при симметричном нагружении в условиях плоского напряженного состояния.

Описание предельных простых процессов произвольного во времени нагружения в рамках предлагаемой теории базируется на кривых длительной и усталостной прочности при сдвиге, одноосном и равномерном двухосном нагружениях. Для построения общей теории предельных процессов простого нагружения материалов с произвольными механическими свойствами при одноосном [4, 5] и плоском [6] напряженных состояниях дополнительно привлекается интегральный оператор, ядро которого находится с помощью кривых длительной прочности и усталости при пульсирующем нагружении.

В публикуемой работе возможности развиваемого вариационного принципа реализуются при построении теории предельных процессов нагружения, компоненты которого изменяются во времени непропорционально.

1. Рассматривается координатный тетраэдр, наклонная грань которого имеет нормаль n_1 . На этой наклонной плоскости вводятся две ортогональные оси n_2 и n_3 так, что $n_i \cdot n_j = \delta_{ij}$, $n_i = (n_{im})$ ($i, j, m = 1, 2, 3$); δ_{ij} — символ Кронекера.

Под процессом нагружения на наклонной грани $\mathbf{Y}_n = \mathbf{Y}_n(x)$, $x \in [0, t]$, понимается как усилие $P_n = P_n(x)$, определяемое компонентами тензора напряжений $\sigma_{ij} = \sigma_{ij}(x)$, так и деформация $\varepsilon_n = \varepsilon_n(x)$, характеризуемая компонентами тензора деформаций $\varepsilon_{ij} = \varepsilon_{ij}(x)$ [2].

Процесс нагружения \mathbf{Y}_n представляется следующим образом:

$$\mathbf{Y}_n(x) = y_i(x) n_i, \quad y_i(x) = \mathbf{Y}_n(x) \cdot n_i = y_{mj}(x) n_{im} n_{1j} = \\ = y_0(x) \delta_{1i} + y_{i,1}(x) + y_{i,2}(x) \quad (i=1, 2, 3), \quad 3y_0(x) = y_{ii}(x)$$
(1.1)

$$y_{i,1}(x) = s_{jj}(x) n_{ij} n_{1j} = s_{11}(x) (n_{11} n_{11} - n_{13} n_{13}) + s_{22}(x) (n_{12} n_{12} - n_{13} n_{13}) \quad (1.2)$$

$$y_{i,2}(x) = s_{mj}(x) n_{ij} n_{1m} (1 - \delta_{mj}), \quad s_{ij}(x) = y_{ij}(x) - y_0(x) \delta_{ij} \quad (1.3)$$

где n_{ij} ($i, j = 1, 2, 3$) связаны шестью соотношениями ортогональности, т. е. имеются лишь три независимые координаты. Если в качестве таких координат выбрать n_{11} , n_{12} и n_{21} , то оставшиеся шесть координат выражаются через них следующим образом:

$$n_{13} = \pm (1 - n_{11}^2 - n_{12}^2)^{\frac{1}{2}} \\ n_{22} = [-n_{11} n_{12} n_{21} + n_{13} (1 - n_{11}^2 - n_{12}^2)^{\frac{1}{2}}] / (1 - n_{11}^2) \\ n_{11} \neq 1, \quad n_{22} = 1, \quad n_{11} = 1 \\ n_{32} = \pm n_{13} / [(an_{11} + n_{12})^2 + (1 + a^2) n_{13}^2]^{\frac{1}{2}} \\ n_{31} = a n_{32} \quad a = (n_{22} n_{13} - n_{12} n_{23}) / (n_{11} n_{23} - n_{21} n_{13}) \\ n_{11} n_{23} \neq n_{21} n_{13}, \quad n_{32} = n_{31} = 0, \quad n_{11} n_{23} = n_{21} n_{13}$$

¹ См. также: Завойчинский Б. И. О теории предельных процессов нагружения. М., 1984.—23 с. Деп. в ВИНИТИ 01.03.84; № 1160-84.

$$\begin{aligned} n_{13} &= -(n_{i1}n_{11} + n_{i2}n_{12})/n_{13} \quad n_{13} \neq 0 \quad (i=2, 3) \\ n_{13} &= \pm(1 - n_{i1}^2 - n_{i2}^2)^{1/2} \quad n_{13} = 0 \quad (i=2, 3) \end{aligned}$$

Под предельным процессом $y_{ij}^* = y_{ij}(t, x)$ ($i, j=1, 2, 3$) $x \in [0, t]$ понимается такой процесс малых упруговязкопластических деформаций, который переводит элемент из некоторого начального состояния в определенное предельное состояние в момент времени t , называемый долговечностью [1, 2].

Компоненты предельного процесса нагружения $y_{ij}^* = y_{ij}(t, x)$ ($i, j=1, 2, 3$), соответствующие данному нагружению $y_{ij} = y_{ij}(x)$, целесообразно задать в однопараметрическом виде:

$$y_{ij}^*(t, x) = y_{ij}(x)/y^*(t) \quad x \in [0, t], \quad Y_n^*(t, x) = Y_n(x)/y^*(t) \quad (1.4)$$

Утверждение. Предельный процесс нагружения реализует максимум целевого функционала по пространственно-временным координатам [2]:

$$\max \{ \|\Pi[z, Y_n^*(t, x)]_{x=0}^t\| : 0 \leq z \leq t, n_{11}, n_{12}, n_{21} \} = 1 \quad (1.5)$$

При конкретизации постулата (1.5) с учетом (1.1)–(1.4) функцию $y^*(t)$ предлагается находить по следующему выражению ($q=1$ или 2):

$$y^*(t) = \max \{J(z, n_{11}, n_{12}, n_{21}) : 0 \leq z \leq t, n_{11}, n_{12}, n_{21}\} \quad (1.6)$$

$$J = \left(\sum_{i=1}^3 J_i^q \right)^{1/q} \quad (1.7)$$

где для пластичных материалов

$$J_i = \sum_{j=1}^2 \frac{y_{i,j}^2(z)}{|\Pi_i^+(z, y_{i,j}(x))|_{x=0}^t} - \frac{y_0^2(z) \delta_{1i}}{|\Pi_0^+[z, y_0(x)]|_{x=0}^t} \quad (i=1, 2, 3) \quad (1.8)$$

для хрупких материалов

$$J_i = \sum_{j=1}^2 |\Pi_i^-[z, y_{i,j}(x)]|_{x=0}^t + |\Pi_0^-[z, y_0(x)]|_{x=0}^t \delta_{1i} \quad (i=1, 2, 3) \quad (1.9)$$

Таким образом, для описания предельных процессов сложного нагружения привлекаются четыре независимых линейных функционала $\Pi_i^\pm = \Pi_i^\pm[z, y(x)]|_{x=0}^t$ ($i=0, 1, 2, 3$). Это линейные интегральные операторы с симметрическими ядрами, которые могут быть представлены в форме сходящихся рядов [1]:

$$\begin{aligned} \Pi_i^\pm[z, f(x)]|_{x=0}^t &= \lambda_i^\pm |f(z)| \mp \left| \frac{1}{t} \int_0^t K_i^\pm(z, x) f(x) dx \right| = \\ &= \lambda_i^\pm |f(z)| \mp \left| \sum_{k=0}^{\infty} \lambda_i^\pm(k, t) f_k(t) \varphi_k(z) \right| \quad (i=0, 1, 2, 3) \end{aligned} \quad (1.10)$$

где $\varphi_k = \varphi_k(x)$ ($k=0, 1, \dots, \infty$) — полная замкнутая ортогональная система собственных функций для интервала $[0, t]$:

$$f_k(t) = \frac{1}{t} \int_0^t f(x) \varphi_k(x) dx, \quad \frac{1}{t} \int_0^t K_i^\pm(z, x) \varphi_k(x) dx = \lambda_i^\pm(k, t) \varphi_k(z)$$

В рассматриваемой теории предполагается, что

$$\begin{aligned} \lambda_0^+(k, t) &> \lambda_1^+(k, t) \geq \lambda_3^+(k, t) \geq \lambda_2^+(k, t), \\ \lambda_0^-(k, t) &< \lambda_1^-(k, t) \leq \lambda_3^-(k, t) \leq \lambda_2^-(k, t) \end{aligned} \quad (1.11)$$

2. В эксперименте реализуются два вида предельных асимметричных напряжений при плоском напряженном состоянии:

$$\sigma_{11}^*(t, x) = \sigma_\varphi^*(k, t) (\sigma_{1,m} + \sin 2\pi kx/t) \quad (2.1)$$

$$\sigma_{22}^*(t, x) = \sigma_\varphi^*(k, t) (\sigma_{2,m} + \alpha \sin (2\pi kx/t + \varphi))$$

$$\sigma_{33}^* = \sigma_{12}^* = \sigma_{13}^* = \sigma_{23}^* = 0 \quad x \in [0, t]$$

$$\sigma_{11}^*(t, x) = \sigma_\varphi^*(k, t) (\sigma_m + \sin 2\pi kx/t) \quad (2.2)$$

$$\sigma_{12}^*(t, x) = \sigma_\varphi^*(k, t) (\sigma_m + s_a \sin (2\pi kx/t + \varphi))$$

$$\sigma_{22}^* = \sigma_{33}^* = \sigma_{13}^* = \sigma_{23}^* = 0 \quad x \in [0, t]$$

для которых предельным состоянием является появление коротких трещин — субмикро (10^{-6} — 10^{-7} мм) и микроскопических (10^{-2} — 10^{-4} мм) или их объединение в макроскопические трещины (0,4—0,5 мм) или подрастание макротрещин до определенной длины (5—10 мм). Зависимости (1.6)—(1.10) определяют взаимосвязь параметров предельного напряжения, (2.1) в таком виде:

для пластичных материалов

$$\sigma_\varphi^*(k, t) = 1/\max \left\{ \left[\sum_{i=1}^3 J_i(z, n_{11}, n_{12}, n_{21}) \right]^{\frac{1}{2}} : z \in [0, 1], n_{11}, n_{12}, n_{21} \right\} \quad (2.3)$$

$$J_i = \sigma_{i,1}^2(z) / [\lambda_{i,1}(z) | - |\lambda_{i,1}(0, t) s_{i,m} + \lambda_{i,1}(k, t) s_{i,a}(z) |] - \quad (2.4)$$

$$- \sigma_0^2(z) \delta_{1i} / [\lambda_0^+(z) | - |\lambda_0^+(0, t) \sigma_{0,m} + \lambda_0^+(k, t) \sigma_{0,a}(z) |] \quad (2.5)$$

$$3s_{i,a}(z) = (2 \sin 2\pi kz - \alpha \sin (2\pi kz + \varphi)) (n_{11}n_{11} - n_{13}n_{13}) + \\ + (2\alpha \sin (2\pi kz + \varphi) - \sin 2\pi kz) (n_{12}n_{12} - n_{13}n_{13})$$

$$3s_{i,m} = (2\sigma_{1,m} - \sigma_{2,m}) (n_{11}n_{11} - n_{13}n_{13}) + (2\sigma_{2,m} - \sigma_{1,m}) (n_{12}n_{12} - n_{13}n_{13})$$

$$\sigma_{i,1}(z) = s_{i,m} + s_{i,a}(z), \quad 3\sigma_{0,m} = \sigma_{1,m} + \sigma_{2,m}$$

$$3\sigma_{0,a}(z) = \sin 2\pi kz + \alpha \sin (2\pi kz + \varphi), \quad \sigma_0(z) = \sigma_{0,m} + \sigma_{0,a}(z)$$

для хрупких материалов

$$\sigma_\varphi^*(k, t) = 1/\max \left\{ \sum_{i=1}^3 J_i(z, n_{11}, n_{12}, n_{21}) : z \in [0, 1], n_{11}, n_{12}, n_{21} \right\} \quad (2.6)$$

$$J_i = \lambda_{i,1}^- | \sigma_{i,1}(z) | + | \lambda_{i,1}^-(0, t) s_{i,m} + \lambda_{i,1}^-(k, t) s_{i,a}(z) | +$$

$$+ [\lambda_{0,-} | \sigma_0(z) | + | \lambda_{0,-}(0, t) \sigma_{0,m} + \lambda_{0,-}(k, t) \sigma_{0,a}(z) |] \delta_{1i} \quad (2.7)$$

Параметры предельного нагружения (2.2) связаны следующими зависимостями (по (1.6)—(1.10)):

для пластичных материалов

$$\sigma_\varphi^*(k, t) = 1/\max \left\{ \left[\sum_{i=1}^3 J_i^2(z, n_{11}, n_{12}, n_{21}) \right]^{\frac{1}{2}} : z \in [0, 1], n_{11}, n_{12}, n_{21} \right\} \quad (2.8)$$

$$J_i = \frac{\sigma_{11}^2(z) | 2n_{11}n_{11} - n_{13}n_{13} - n_{12}n_{12} |}{3 | \sigma_m \lambda_{i,1}^+ + \lambda_{i,1}^+(k, t) \sin 2\pi kz |} + \frac{\sigma_{12}^2(z) | n_{12}n_{11} + n_{11}n_{12} |}{| s_m \lambda_{i,1}^+ + s_a \lambda_{i,1}^+(k, t) \sin (2\pi kz + \varphi) |} - \\ - \frac{\sigma_{11}^2(z) \delta_{1i}}{3 | \sigma_m \lambda_0^+ + \lambda_0^+(k, t) \sin 2\pi kz |}$$

$$\sigma_{11}(z) = \sigma_m + \sin 2\pi kz, \quad \sigma_{12}(z) = s_m + s_a \sin (2\pi kz + \varphi)$$

для хрупких материалов

$$\sigma^*(k, t) = 1/\max \left\{ \sum_{i=1}^3 J_i(z, n_{11}, n_{12}, n_{21}) : z \in [0, 1], n_{11}, n_{12}, n_{21} \right\} \quad (2.9)$$

$$J_i = |\lambda_i^- \sigma_m + \lambda_i^-(k, t) \sin 2\pi k z| |2n_{ii} n_{11} - n_{is} n_{13} - n_{i2} n_{12}| + \quad (2.10) \\ + |\lambda_i^- s_m + \lambda_i^-(k, t) s_a \sin (2\pi k z + \varphi)| |n_{i2} n_{11} + \\ + n_{i1} n_{12}| + |\lambda_0^- \sigma_m + \lambda_0^-(k, t) \sin 2\pi k z| \delta_{ii}/3$$

Собственные значения ядер λ_i^\pm и $\lambda_i^\pm(k, t)$ ($i=0, 1, 2, 3$) интегральных операторов (1.10) могут быть определены при помощи соотношений (2.3) – (2.10) и экспериментальных данных по циклической прочности материалов при четырех видах предельных напряжений. В качестве примера рассматривается система, состоящая из трех тензоров напряжений (2.1) при $\varphi=0, \alpha=\pm 1, \alpha=0, k=1, 2, \dots, \sigma_{i,m}=0, i=1, 2$, и $k=0, \sigma_{i,m}\neq 0, i=1, 2$ и четвертого тензора напряжений (2.2) при $\varphi=\pi/2, s_a=\frac{1}{2}, k=1, 2, \dots, \sigma_m=s_m=0$ и $k=0, \sigma_m\neq 0, s_m\neq 0$.

При изучении предельного сдвигового симметричного процесса нагружения находятся следующие соотношения:

для пластичных материалов

$$\lambda_2^+(k, t) = \tau(k, t), \quad n_{11}^* = n_{12}^* = 1/\sqrt{2} \quad (2.11)$$

для хрупких материалов

$$(1+x_1)^{1/2} - 2x_1 \eta_0 = 0 \quad (2.12) \\ x_1 = \lambda_1^-(k, t)/\lambda_2^-(k, t), \quad \eta_0 = [\lambda_2^-(k, t) \tau(k, t)]^{-1} \\ n_{11}^* = n_{12}^* = n_*, \quad n_*^2 = (1-x_1/(1+x_1^{1/2}))^2/2$$

Здесь $\tau=\tau(k, t)$ – семейство кривых малоциклической и ограниченной усталости при симметричном кручении.

При рассмотрении предельного одноосного симметричного нагружения получаются такие соотношения:

для пластичных материалов

$$9\eta_2^{-2} = [(1-2x_1y)/(2x_1(x_1^2-1)) + y]^2 + \quad (2.13) \\ + (4x_1^2-2x_1y-3)(2x_1y+2x_1^3-3)/(4(1-x_1^2)^2) \\ y = \lambda_2^+(k, t)/\lambda_0^+(k, t), \quad \eta_2 = \sigma(k, t)/\tau(k, t), \quad x_1 = \lambda_2^+(k, t)/\lambda_i^+(k, t) \\ n_{12}^* = n_{13}^* = n_*, \quad n_{11}^{*2} = 1 - 2n_*^2 \\ n_*^2 = (4x_1^2/3 - 2x_1y/3 - 1)/4(x_1^2 - 1)$$

для хрупких материалов

$$1+x_1/3+2y/3=2/\eta_2^*, \quad \eta_2^* = \sigma(k, t)\lambda_2^-(k, t), \quad n_*^2 = 1/2 \quad (2.14)$$

Здесь $\sigma=\sigma(k, t)$ – семейство кривых малоциклической и ограниченной усталости при симметричном одноосном напряжении (мягкое нагружение).

Предельное равномерное двухосное симметричное нагружение, при котором $n_{11}^* = n_{12}^* = n_*$, $n_{13}^{*2} = 1 - 2n_*^2$, обуславливает следующую взаимосвязь параметров:

для пластичных материалов

$$9/\eta_1^2 \eta_2^2 = [(1-4x_1y)/(2x_1(x_1^2-1)) + 2y]^2 + \quad (2.15) \\ + (4x_1^2-4x_1y-3)(4x_1y+2x_1^2-3)/(4(1-x_1^2)^2) \\ n_*^2 = (4x_1^2/3 - 4x_1y/3 - 1)/(4(x_1^2 - 1))$$

для хрупких материалов

$$1+x_1/3+4y/3=2\eta_0^*, \quad \eta_0^* = [\sigma_{11}(k, t)\lambda_2^-(k, t)]^{-1}, \quad n_*^2 = 1/2 \quad (2.16)$$

Здесь $\sigma_{11}=\sigma_{11}(k, t)$ – семейство кривых малоциклической и ограниченной усталости при симметричном равномерном двухосном напряжении.

Соотношения (2.11), (2.13), (2.15) образуют систему уравнений, определяющую собственные значения $\lambda_i^\pm(k, t)$ ($i=0, 1, 2$) для пластичных материалов; а (2.12), (2.14), (2.16) – систему уравнений по нахождению $\lambda_i^-(k, t)$ ($i=0, 1, 2$) для хрупких материалов, решение которых обсуждалось в [2]. Собственные значения $\lambda_3^\pm(k, t)$ являются решением следующих уравнений:

для пластичных материалов

$$\max \left\{ |\sin 2\pi kz| \left(\sum_{i=1}^2 p_i^2 / \lambda_i^+(k, t)^2 + p_3^2 / \lambda_3^+(k, t)^2 \right)^{\frac{1}{2}} : z \in [0, 1], \right. \\ \left. n_{11}, n_{12}, n_{21} \right\} = \sigma_{\pi/2}^*(k, t)^{-1} \quad (2.17)$$

для хрупких материалов

$$\max \left\{ |\sin 2\pi kz| \left(\sum_{i=1}^2 p_i \lambda_i^-(k, t) + p_3 \lambda_3^-(k, t) \right) : z \in [0, 1], \right. \\ \left. n_{11}, n_{12}, n_{21} \right\} = \sigma_{\pi/2}^*(k, t)^{-1} \quad (2.18)$$

$$p_i = |2n_{11}n_{11} - n_{13}n_{13} - n_{12}n_{12}| + |n_{12}n_{11} + n_{11}n_{12}| \operatorname{ctg} 2\pi kz / 2 + [\lambda_0^\pm(k, t) / \lambda_1^\pm(k, t)]^{\pm 1} \sigma_{ii} / 3$$

(верхние знаки — для пластичных материалов, нижние — для хрупких), $\sigma_{\pi/2}^* = \sigma_{\pi/2}(k, t)$ — семейство кривых малоциклической и ограниченной усталости при симметричном нагружении (2.2), в котором $\varphi = \pi/2$, $s_a = 1/2$, $\sigma_m = s_m = 0$

Предельное двухосное симметричное деформирование

$$\varepsilon_{11}^*(t, x) = \varepsilon_\varphi^*(k, t) \sin 2\pi kx/t \quad (2.19)$$

$$\varepsilon_{22}^*(t, x) = \alpha \varepsilon_\varphi^*(k, t) \sin (2\pi kx/t + \varphi)$$

$$\varepsilon_{33}^*(t, x) = -\mu (\varepsilon_{11}^*(t, x) + \varepsilon_{22}^*(t, x)) / (1 - \mu)$$

пластичных материалов удовлетворяет соотношению (2.3), а хрупких материалов — (2.6), в которых J_i ($i=1, 2, 3$) определяются следующими зависимостями:

$$3J_1/(1-\mu) = [(2-\mu) \sin 2\pi kz - \alpha(1-2\mu) \sin (2\pi kz + \varphi)] (2n_{11}^2 + n_{12}^2 - 1) / [\lambda_2^\pm(k, t)]^{\pm 1} + [\alpha(2-\mu) \sin (2\pi kz + \varphi) - (1-2\mu) \sin 2\pi kz] \times (2n_{12}^2 + n_{11}^2 - 1) \{ [\lambda_1^\pm(k, t)]^{\mp 1} \mp (1-2\mu) [\sin 2\pi kz + \alpha \sin (2\pi kz + \varphi)] [\lambda_0^\pm(k, t)]^{\mp 1}$$

$$3J_2/(1-\mu) = [n_{21}n_{11}[(2-\mu) \sin 2\pi kz - (1-2\mu)\alpha \sin (2\pi kz + \varphi)] + n_{22}n_{12}[-(1-2\mu) \sin 2\pi kz + (2-\mu)\alpha \sin (2\pi kz + \varphi)] \} [\lambda_2^\pm(k, t)]^{\pm 1}$$

$$3J_3/(1-\mu) = [n_{31}n_{11}[(2-\mu) \sin 2\pi kz - (1-2\mu)\alpha \sin (2\pi kz + \varphi)] [\lambda_1^\pm(k, t)]^{\mp 1} + n_{32}n_{12}[-(1-2\mu) \sin 2\pi kz + (2-\mu)\alpha \sin (2\pi kz + \varphi)] [\lambda_0^\pm(k, t)]^{\mp 1}]$$

(верхние знаки соответствуют пластичным материалам, а нижние — хрупким).

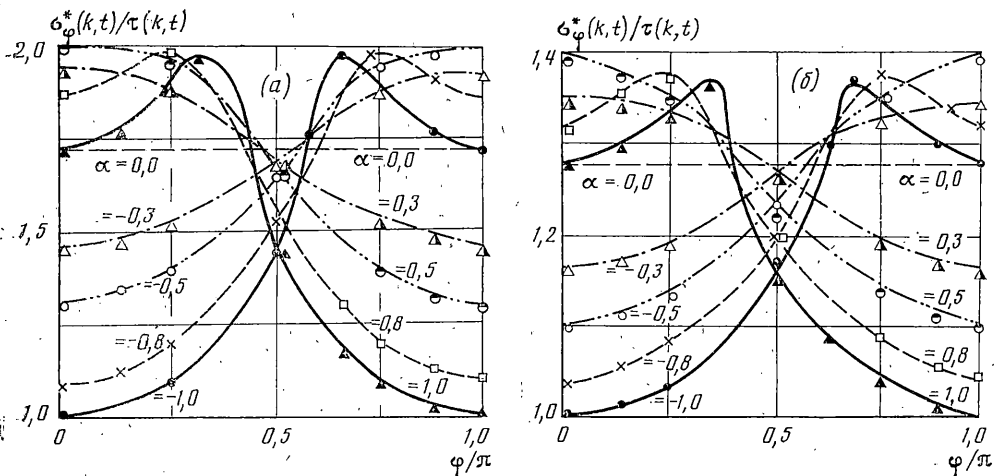
Предельный симметричный сдвиг описывается следующими зависимостями: для пластичных материалов $\lambda_2^+(k, t) = \gamma(k, t)$; для хрупких материалов (2.12), в которой $\eta_0 = [\lambda_2^-(k, t)\gamma(k, t)]^{-1}$, где $\gamma = \gamma(k, t)$ — семейство кривых малоциклической и ограниченной усталости при симметричной закрутке (в условиях жесткого нагружения).

Предельное одноосное симметричное деформирование задается для пластичных материалов соотношением (2.13), в котором

$$\eta_2 = \gamma(k, t) / \varepsilon(k, t) (1 + \mu), \quad x_1 = \gamma(k, t) / \lambda_1^+(k, t), \\ y = \gamma(k, t) (1 - 2\mu) [(1 + \mu) \lambda_0^+(k, t)]^{-1},$$

где $\varepsilon = \varepsilon(k, t)$ — семейство кривых малоциклической и ограниченной усталости при симметричном одноосном деформировании (жесткое нагружение), для хрупких материалов — соотношением (2.14), в котором

$$\eta_2^* = [\varepsilon(k, t) (1 + \mu) \lambda_2^-(k, t)]^{-1}.$$



Фиг. 1

Предельное двухосное равномерное симметричное деформирование представляется для пластичных материалов соотношением (2.15), в котором $\eta_2=\gamma(k, t)[(1+2\mu)\varepsilon_{11}(k, t)]^{-1}$; для хрупких материалов — соотношением (2.16), причем $\eta_0^*=1/[(1+2\mu)\varepsilon_{11}(k, t)\lambda_2^-(k, t)]^{-1}$. Здесь $\varepsilon_{11}=\varepsilon_{11}(k, t)$ — семейство кривых малоциклической и ограниченной усталости при равномерном двухосном симметричном деформировании (жесткое нагружение).

Связь параметров предельного деформирования (2.19) при $\varphi=\pi/2$ описывается соотношениями (2.17), в которых вместо $\sigma_{\alpha/2}(k, t)$ следует подставить $\varepsilon_{\pi/2}^*(k, t)$. Здесь $\varepsilon_{\pi/2}^*=\varepsilon_{\pi/2}^*(k, t)$ — семейство кривых малоциклической и ограниченной усталости при симметричном деформировании (2.19) и $\varphi=\pi/2$.

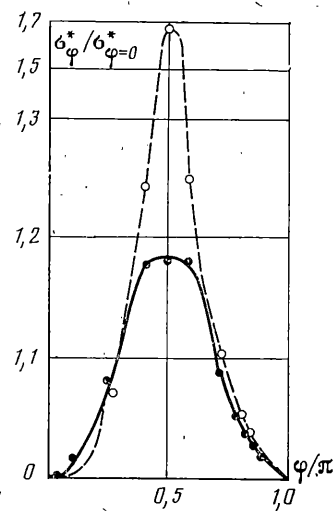
Вместо соотношения (2.18) следует использовать следующее соотношение

$$\begin{aligned} p_i &= (1+\mu) |2n_{ii}n_{11} - n_{i3}n_{13} - n_{i2}n_{12}|/3 + \alpha |(n_{ii}n_{12} + n_{i2}n_{11}) \operatorname{ctg} 2\pi kz| - \\ &- (1-2\mu) [\lambda_1^\pm(k, t)/\lambda_0^\pm(k, t)]^{\pm 1} \delta_{ii}/3 \quad (i=1, 2, 3). \end{aligned}$$

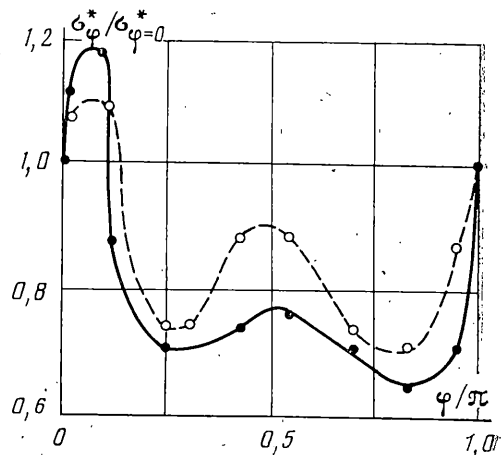
3. На фиг. 1 представлены результаты численного анализа несинхронного симметричного двухосного предельного нагружения (2.1) при $\sigma_{1, m} = \sigma_{2m} = 0$ по соотношениям (2.3)–(2.6) с учетом (2.11)–(2.18) (*a* — для пластичных материалов, *b* — для хрупких материалов, у которых пределы прочности при симметричном одноосном и равномерном двухосном нагружениях равны, т. е. $\sigma(k, t) = \sigma_{11}(k, t) = \sqrt{3}\tau(k, t)$). Это предельное нагружение может рассматриваться в качестве тестового нагружения. Взаимосвязь $\sigma_\phi^* \sim \alpha \sim \varphi$ отражает основные закономерности циклической прочности материалов. Например, при $\alpha = -1$ и изменениях φ в диапазоне $0 \leq \varphi \leq \pi$ предел циклической прочности монотонно изменяется от значения предела усталости при симметричном сдвиге к пределу усталости при равномерном двухосном симметричном нагружении. В диапазоне $0,625 \leq \varphi/\pi \leq 1,0$ предел циклической прочности выше предела двухосной прочности, что и наблюдается в эксперименте [7].

Из фиг. 1 следует, что существует несинхронное двухосное предельное нагружение, в котором $\alpha \neq 1$ при определенной связи $\varphi = \varphi(\alpha)$, адекватное синхронному двухосному равномерному нагружению ($\alpha = 1$, $\varphi = 0$).

Результаты численного анализа несинхронного симметричного нагружения (2.2) при $\sigma_m = s_m = 0$ по приведенной выше теории показаны на фиг. 2. Установлено, что наибольшее увеличение прочности (на 15–20 %) следует ожидать при $\varphi = \pi/2$. Если же при расчете в качестве предельной плоскости выбирать октаэдрическую площадку, увеличение предела прочности при $\varphi = 0,5\pi$ достигает 70 %, что противоречит экспериментальным данным.



Фиг. 2



Фиг. 3

На фиг. 3 представлена взаимосвязь $\sigma_{\phi}^* \sim \phi$ для предельного пульсирующего нагружения (2.2) при $\sigma_m = s_m = 1$.

При небольших значениях $\phi \leq 0,1\pi$ наблюдается повышение прочности до 15–20 %. В дальнейшем происходит уменьшение предела усталостной прочности на 20–35 %. Если при расчете выбрать октаэдрическую площадку в качестве предельной, получается меньшая изменчивость пределов циклической прочности.

На фиг. 2 и 3 сплошные линии и темные точки изображают зависимость $\sigma_{\phi}^* \sim \phi$ на предельной плоскости, которая находится при решении вариационной задачи. Для сравнения также представлена эта взаимосвязь на октаэдрической плоскости — штриховые линии и светлые точки.

Упомянутые закономерности найдены и при экспериментальном изучении предельных процессов (2.2) [7–11].

Уже первые экспериментальные исследования циклической прочности материалов при несинхронном симметричном нагружении изгибе и кручением показали, что для $N=10^7$ циклов при изменении сдвига фаз в диапазоне $(0, \pi/2)$ происходит увеличение значений предельных амплитуд напряжений для закаленных и пластичных сталей на 10 %, для чугунов — на 30 %, а для дюралюминия — почти не изменяются.

Для другой пластичной стали значения компонент предельных амплитуд несинхронного нагружения (при отношении $\sigma_{1,a}/\sigma_{12,a}=2$ и разности фаз между ними $\phi=\pi/2$) на 10 % ниже величины компонент предельных амплитуд синхронного нагружения ($\phi=0$) в области неограниченной усталости.

Дальнейшие эксперименты подтвердили описанное выше влияние сдвига фаз — для некоторых материалов положительное (предельные амплитуды увеличиваются), для других — отрицательное (уменьшение предельных амплитуд). Чем меньше отношение η_2 , тем больше влияние сдвига фаз.

4. Параметры предельного нагружения (2.1), в котором $\sigma_{1,m}=\alpha=\phi=0$, т. е. $\sigma_{11}^*(t, x)=\sigma_a^*(k, t) \sin 2\pi kx/t$, $\sigma_{22}^*(t, x)=\sigma_a^*(k, t)\sigma_{2,m}$, связаны со-гласно (2.3) — (2.6) следующими зависимостями:

для пластичных материалов

$$(\sigma_a^*\sigma_a^* + \sigma_{2,m}^*)^2 [\eta_2^2 \sigma_a^{*2} + (4 - \eta_2^2) (f_2 \sigma_a^* + f_3 \sigma_{2,m}/\sigma_a^*)^2]^{1/2} = 2f_1(\sigma_a^*, \sigma_{2,m}) \quad (4.1)$$

$$f_1(\sigma_a^*, \sigma_{2,m}) = \begin{cases} \sigma_a^* \sigma_{2,m}^* + \sigma_a^{*2} \sigma_{2,m}^{*2}; & 0 \leq \sigma_{2,m} \leq 1,0 \\ \sigma_a^* \sigma_{2,m}^* \sigma_a^* + \sigma_{2,m}^{*2} / \sigma_a^*; & 1,0 < \sigma_{2,m} \end{cases}$$

$$f_2 = \begin{cases} 1 & 3q - 5; 0 \leq \sigma_{2,m} \leq 0,5 \\ 2q - 3 & 3 - q; 0,5 < \sigma_{2,m} \leq 1,0 \\ q - 3 & 3 - 2q; 1,0 < \sigma_{2,m} \leq 2,0 \\ 3q - 5 & 1 \quad 2,0 < \sigma_{2,m} \end{cases}$$

для хрупких материалов

$$\sigma_a^{*2} + (f_4 \sigma_{2,m}^* - f_5) \sigma_a^* + f_6 \sigma_{2,m}^* / \sigma^* + f_7 \sigma_{2,m}^{*2} / \sigma^* = 0 \quad (4.2)$$

$$f_4 = \begin{cases} 1 + a_1 / \sigma^* & 1 \\ 1 - a_3 / (a_2 \sigma^*) & a_2^{-1} \\ 1 - a_2 / (a_3 \sigma^*) & 0 \\ 1 + 1 / (a_1 \sigma^*) & 0 \end{cases}, \quad f_5 = \begin{cases} 1 & 0 \\ a_2^{-1} & 0 \\ 0 & a_3^{-1} \\ 0 & -a_1^{-1} \end{cases}, \quad f_6 = \begin{cases} 0 & 0 \\ 0 & a_3^{-1} \\ a_3^{-1} & -a_1^{-1} \end{cases}$$

$$f_7 = \begin{cases} a_1; 0 \leq \sigma_{2,m} \leq 0,5 \\ a_3 / a_2; 0,5 < \sigma_{2,m} \leq 1,0 \\ -a_2 / a_3; 1,0 < \sigma_{2,m} \leq 2,0 \\ a_1^{-1}; 2,0 < \sigma_{2,m} \end{cases}$$

$$\sigma_a^* = \sigma_a^*(k, t) / \sigma(k, t), \quad \sigma_{2,m}^* = \sigma_a^*(k, t) \sigma_{2,m} / \sigma_b$$

$$\sigma^* = \sigma(k, t) / \sigma_b, \quad q = (4\eta_1^2 - \eta_2^2) / (4 - \eta_2^2)$$

$$a_1 = \eta_2 - 5 + 3\eta_1, \quad a_2 = \eta_2 - 3 + 2\eta_1, \quad a_3 = \eta_2 - 3 + \eta_1$$

Анализ соотношений (4.1) при $\eta_2 = \sqrt{3}$, $\eta_1 = 1$, $\sigma^* = 0,5$ и (4.2) при $\eta_2 = 1,5$, $\eta_1 = 1$, $\sigma^* = 0,5$ показывает, что значение $\sigma_a^* \approx 1,0$ для $\sigma_{2,m}^*$ из диапазона $[0; 0,6]$ и уменьшается по мере дальнейшего увеличения $\sigma_{2,m}$, достигая нуля при $\sigma_{2,m}^* = 1,0$.

По соотношению (4.1) при $2 > \eta_2 > \sqrt{3}$, $\eta_1 \leq 1,0$ предельная амплитуда напряжений σ_a^* монотонно уменьшается по мере увеличения $\sigma_{2,m}^*$.

Согласно соотношению (4.2) при $\sqrt{3} \geq \eta_2 > 1,5$, $\eta_1 \leq 1,0$ и изменении $\sigma_{2,m}^*$ в диапазоне $0 \leq \sigma_{2,m}^* \leq 0,6$ вначале идет увеличение σ_a^* , не превышающее 10%, а затем ее снижение до единицы. При увеличении $\sigma_{2,m}^*$ в диапазоне $[0,6; 1,0]$ σ_a^* монотонно уменьшается до нуля.

Вышеуказанные закономерности наблюдаются в эксперименте. Параметры предельного нагружения (2.2) при $\sigma_m = s_a = \varphi = 0$, т. е. $\sigma_{11}^*(t, x) = \sigma_a^*(k, t) \sin 2\pi kx/t$, $\sigma_{12}^*(t, x) = \sigma_a^*(k, t) s_m$, согласно (2.7) – (2.10) удовлетворяют следующим соотношениям:

для пластичных материалов

$$\sigma_a^*(k, t)^{-2} = \sigma_{-1}(k, t)^{-2} + s_m^2 / \tau_b^2 \quad (4.3)$$

для хрупких материалов

$$\sigma_a^*(k, t)^{-2} = (\eta_2 - 1) / \sigma_{-1}(k, t)^2 + (2 - \eta_2) / (\sigma_{-1}(k, t) \sigma_a^*(k, t)) + s_m^2 / \tau_b^2 \quad (4.4)$$

Взаимосвязь параметров предельного нагружения

$$\sigma_{11}^*(t, x) = \tau_a^*(k, t) \sigma_m, \quad \sigma_{12}^*(t, x) = \tau_a^*(k, t) \sin 2\pi kx/t$$

по (2.7) – (2.10) представляется формулами:

для пластичных материалов

$$\tau_a^*(k, t)^{-2} = \tau_{-1}(k, t)^{-2} + \sigma_m^2 / \sigma_b^2 \quad (4.5)$$

для хрупких материалов

$$\tau_a^*(k, t)^{-2} = \tau_{-1}(k, t)^{-2} + (\eta_2 - 1) \sigma_m^2 / \sigma_b^2 + (2 - \eta_2) \sigma_m / (\sigma_b \tau_a^*(k, t))$$

Соотношение (4.3) совпадает с формулой Зеннера [10], а (4.5) – с формулой Гафа [9].

Предельное нагружение такого вида

$$\sigma_{11}^*(t, x) = \sigma^*(t) \left(\sigma_{1,m} + \sin 2\pi kx/t + \sum \sigma_{1,a}^{(i)} \sin 2\pi k(4i-1)x/t \right)$$

(4.6)

$$\sigma_{22}^*(t, x) = \sigma^*(t) (\sigma_{2,m} + \sigma_{2,a} \sin 2\pi kx/t + \sum \sigma_{2,a}^{(i)} \sin 2\pi k(4i-1)x/t)$$

при введении обозначений

$$\sigma_m = \max \{\sigma_{1,m}, \sigma_{2,m}\}, \quad \sigma_a = \max \{1, \sigma_{2,a}\}, \quad \sigma_a^{(i)} = \max \{\sigma_{1,i}^{(i)}, \sigma_{2,i}^{(i)}\},$$

$$\alpha_2 = \left(\sigma_{2,m} + \sigma_{2,a} + \sum \sigma_{2,a}^{(i)} \right) / \left(1 + \sigma_{1,m} + \sum \sigma_{1,a}^{(i)} \right)$$

и в предположении $\eta_1 = \eta_2 = \text{const}$ описывается следующим соотношением:

$$\sigma^*(t) F(\alpha_2) M(t) = 1 \quad (4.7)$$

где функция $F=F(\alpha_2)$ определяется формулами:

для хрупких материалов

$$F(\alpha_2) = \begin{cases} 1 + a_0 \alpha_2; & -1,0 \leq \alpha_2 < 0 \\ 1 + a_1 \alpha_2; & 0 \leq \alpha_2 \leq 0,5 \\ a_2 - a_3 \alpha_2; & 0,5 < \alpha_2 \leq 1,0 \\ a_3 - a_2/\alpha_2; & 1,0 < \alpha_2 \leq 2,0 \\ 1 + a_1/\alpha_2; & 2,0 < \alpha_2 \end{cases} \quad (4.8)$$

$$a_1 = \eta_2 - 5 + 3\eta_1, \quad a_2 = \eta_2 - 3 + 2\eta_1$$

$$a_3 = \eta_2 - 3 + \eta_1, \quad a_0 = 1 - \eta_2$$

для пластичных материалов

$$\frac{4F(\alpha_2)^2 - \eta_2^2}{4 - \eta_2^2} = \begin{cases} 1 + 2\alpha_2(1 - \alpha_7) + \alpha_2^2(1 + \alpha_7); & -1,0 \leq \alpha_2 < 0 \\ (1 - a_4\alpha_2)^2; & 0 \leq \alpha_2 \leq 0,5 \\ (a_5\alpha_2 - a_6)^2; & 0,5 < \alpha_2 \leq 1,0 \\ (a_6 - a_5/\alpha_2)^2; & 1,0 < \alpha_2 \leq 2,0 \\ (1 - a_4/\alpha_2)^2; & 2,0 < \alpha_2 \end{cases} \quad (4.9)$$

$$a_4 = 5 - 3q, \quad a_5 = 3 - q, \quad a_6 = 3 - 2q, \quad a_7 = \eta_2^2 / (4 - \eta_2^2)$$

функция $M=M(t)$ находится по таким зависимостям (суммирование по i от 1 до I):

для хрупких материалов

$$M(t) = \sigma_a/\sigma(k, t) + \sigma_m/\sigma_b + \sum \sigma_a^{(i)} \sigma((4i-1)k, t)^{-1} \quad (4.10)$$

для пластичных материалов

$$M(t) = \left(\sigma_a + \sigma_m + \sum \sigma_a^{(i)} \right)^2 \left[\sigma_m \sigma_b + \sigma_a \sigma(k, t) + \sum \sigma_a^{(i)} \sigma((4i-1)k, t) \right]^{-1} \quad (4.11)$$

Параметры предельного нагружения $\sigma_{11}^*(t, x) = \sigma_a^*(k_1, t) \sin 2\pi k_1 x/t$, $\sigma_{12}^*(t, x) = \sigma_a^*(k_1, t) s_a \sin 2\pi k_2 x/t$, где $k_2 = (4m-1)k_1$, $m=1, 2, 3 \dots$, с помощью (2.7)–(2.10) связаны следующими зависимостями:

для пластичных материалов

$$\sigma_a^*(k_1, t)^{-2} = \sigma_{-1}(k_1, t)^{-2} + s_a^2 \tau_{-1}(k_2, t)^{-2} \quad (4.12)$$

для хрупких материалов

$$\sigma_a^*(k_1, t)^{-2} = (\eta_2 - 1) \sigma_{-1}(k_1, t)^{-2} + (2 - \eta_2) / [\sigma_{-1}(k_1, t) \sigma_a^*(k_1, t)] +$$

$$+ s_a^2 \tau_{-1}(k_2, t)^{-2}, \quad \eta_2 = \sigma_{-1}(k_1, t) / \tau_{-1}(k_1, t) \quad (4.13)$$

Зависимости (4.12) и (4.13) удовлетворительно описывают соответствующие экспериментальные данные.

5. Компоненты $y_{i,1}$ в соотношениях (4.8) и (4.9) определяются формулой (4.2), в которую входят только нормальные компоненты нагрузления, а компоненты $y_{i,2}$ – формулой (1.3), зависящей только от касательных компонент нагрузления. Такое разделение необходимо для того, чтобы знаки нормальных и касательных напряжений не оказывали вза-

имного влияния. В противном случае появляются нехарактерные особенности предельных процессов некоторых нагрузок. Например, согласно альтернативной теории, в которой соотношения J_i ($i=1, 2, 3$), аналогичные (1.8), (1.9), содержат компоненты $y_{i,2} + y_{i,1}$, предельное симметричное нагружение тонкостенного цилиндра осевой силой и крутящим моментом при наличии сдвига по фазе между компонентами, равного π , на 10–15% выше синхронного нагружения при заданной долговечности. Развиваемая теория предсказывает равные предельные симметричные нагрузки для сдвигов фаз $\phi=0$ и $\phi=\pi$.

Аналогичная ситуация встречается, когда необходимо получить зависимость, связывающую компоненты главных напряжений с компонентами тензора напряжений при плоском напряженном состоянии.

Можно показать, что для переменных нагрузок общепринятые соотношения:

$$2\sigma_i = \sigma_{11} + \sigma_{22} + (-1)^{i+1} [(\sigma_{11} - \sigma_{22})^2 + 4\sigma_{12}^2]^{1/2} \quad (i=1, 2) \quad (5.1)$$

приводят к противоречию.

Правильные соотношения для σ_i ($i=1, 2$), полученные из условия равенства общего и нормального усилий на главных плоскостях, имеют вид

$$2\sigma_i(x) = \sigma_{11}(x) + \sigma_{22}(x) + (-1)^{i+1} [(\sigma_{11}(x) - \sigma_{22}(x))^2 \operatorname{sign}(\sigma_{11}(x) - \sigma_{22}(x)) + 4\sigma_{12}^2(x) \operatorname{sign} \sigma_{12}(x)] / [(\sigma_{11}(x) - \sigma_{22}(x))^2 + 4\sigma_{12}^2(x)]^{1/2} \quad (5.2)$$

В общем случае $\operatorname{sign}(\sigma_{11}(x) - \sigma_{22}(x)) \neq \operatorname{sign} \sigma_{12}(x)$, и соотношение (5.2) не тождественно соотношению (5.1).

Для простых процессов нагружения, в которых

$$\sigma_{ij}(x) = s_{ij}f(x) + \sigma_0 f_1(x) \delta_{ij} \quad (i, j=1, 2), \quad (5.3)$$

соотношение (5.3) преобразуется к следующему виду:

$$2\sigma_i(x) = \{s_{11} + s_{22} + (-1)^{i+1} [(s_{11} - s_{22})^2 + 4s_{12}^2]^{1/2}\} f(x) + 2\sigma_0 f_1(x) \quad (5.4)$$

При условии $f_1(x) = f(x)$ зависимость (5.4) приобретает вид, использованный в [2]: $2\sigma_i(x) = \{\sigma_{11} + \sigma_{22} + (-1)^{i+1} [(\sigma_{11} - \sigma_{22})^2 + 4\sigma_{12}^2]^{1/2}\} f(x)$, $\sigma_{ij} = s_{ij} + \sigma_0 \delta_{ij}$ ($i, j=1, 2$).

Для простых процессов деформирования

$$\varepsilon_{ij}(x) = e_{ij}f(x) + \varepsilon_0 f_1(x) \delta_{ij} \quad (i, j=1, 2) \quad (5.5)$$

компоненты главных деформаций равны

$$2\varepsilon_i(x) = \{e_{11} + e_{22} + (-1)^{i+1} [(e_{11} - e_{22})^2 + e_{12}^2]^{1/2}\} f(x) + 2\varepsilon_0 f_1(x) \quad (i=1, 2) \quad (5.6)$$

При условии $f_1(x) = f(x)$ эти соотношения переписываются так [2]: $2\varepsilon_i(x) = \{\varepsilon_{11} + \varepsilon_{22} + (-1)^{i+1} [(\varepsilon_{11} - \varepsilon_{22})^2 + \varepsilon_{12}^2]^{1/2}\} f(x)$, $\varepsilon_{ij} = e_{ij} + \varepsilon_0 \delta_{ij}$ ($i, j=1, 2$).

ЛИТЕРАТУРА

1. Завойчинский Б. И. Об одном вариационном принципе описания предельных процессов наружения. Ч. I.–Изв. АН СССР. МТТ, 1984, № 4, с. 159–165.
2. Завойчинский Б. И. Об одном вариационном принципе описания предельных процессов нагружения. Ч. II.–Изв. АН СССР. МТТ, 1984, № 5, с. 100–108.
3. Ильюшин А. А. Об одной теории длительной прочности.–Инж. журн. МТТ, 1967, № 3, с. 24–35.
4. Завойчинский Б. И. О предельных усталостных процессах в элементах конструкций при звуковом нагружении.–В кн.: Прочность материалов и элементов конструкций при звуковой и ультразвуковой частотах нагружения: Тез. докл. Междунар. симпоз. Киев: Наук. думка, 1984, с. 60.
5. Завойчинский Б. И. К обоснованию теории предельных процессов нагружения магистральных трубопроводов – случай асимметричных и программных нагрузок.–В кн.: Исследование прочности магистральных трубопроводов. М.: Изд-е ВНИИ по стр-ву магистральных трубопроводов, 1984, с. 17–80.
6. Завойчинский Б. И. Об одном обобщении критериев прочности элементов конструкций при простом нагружении ограниченной вариации.–В кн.: Исследование надежности магистральных трубопроводов. М.: Изд-е ВНИИ по стр-ву магистральных трубопроводов, 1985, с. 71–89.

7. El-Magd E. A., Mielke S. Fatigue strength of metals under multiaxial stress state. Current advances in mechanical design and production.— Proc. 1-st Int. Conf. Cairo. Ed. G. S. A. Shawki, 1979, p. 329—340.
8. Garud Y. S. Multiaxial fatigue: A survey of the state of the art.— J. of Testing and Evaluation, JFEVA, 1981, v. 9, No. 3, p. 165—178.
9. Gough H. J. Engineering steels under combined cyclic and static stresses.— J. Appl. Mech., 1950, v. 17, No. 2, p. 113—125.
10. Zenner H., Heidenreich R., Richter J. Bewertung von festigkeitshypothesen fur kombinierte statische und schwingende sowie synchrone schwingende Beanspruchung.— Z. Werkstofftech, v. 14, 1983, No. 12, p. 391—406.
11. Kakuno H., Kawada J. A new criterion of fatigue strength of a round bar subjected to combined static and repeated bending and torsion.— Res. Bull. of Meisei univ. 1983, No. 19, p. 67—73.

Москва

Поступила в редакцию
23.XII.1985